



تأثیر جهت‌های شبیب متفاوت بر برخی ویژگی‌ها و تکامل خاک‌های جنگلی (مطالعه موردی: رستم‌آباد، استان گیلان)

مسلم زرینی بهادر^{۱*}- کمال نبی الله^۲- مهدی نوروزی^۳

تاریخ دریافت: ۱۳۹۲/۱۰/۲۶

تاریخ پذیرش: ۱۳۹۴/۰۱/۱۶

چکیده

این مطالعه به منظور بررسی تأثیر جهت‌های متفاوت شبیب بر پیدایش و ویژگی‌های خاک، در خاک‌های جنگلی منطقه رستم‌آباد شمالی در استان گیلان انجام شده است. پنج خاکرخ در دامنه جنوبی تپه با پوشش جنگلی انجیلی - بلوط و پنج خاکرخ در دامنه شمالی تپه با همان پوشش جنگلی با شبیب برابر 40° درصد و مواد مادری مشابه آندزیزیت بازالتی حفر شد. نتایج حاصل از آزمون‌های تجزیه واریانس چند متغیره (MANOVA) و T^2 هتینینگ اختلاف کلی خصوصیات خاک را بین دو جهت شبیب متفاوت نشان داد. نتایج آزمون t نشان داد مقدار pH، شن، نسبت شن به رس و فسفر قابل دسترس در شبیب جنوبی بیشتر از شبیب شمالی بوده است. مقدار رس و ظرفیت پوششی در شبیب شمالی به طور معنی‌داری بیشتر از شبیب جنوبی می‌باشد. مطالعات میکرومorfولوژیکی نشان داد که فعالیت بیولوژیکی قوی‌تر در شبیب شمالی نسبت به شبیب جنوبی وجود دارد. بیشتر بودن تجمع رس درون حفرات، قطعات پوشش رسی (پایپول)، حفرات چمبر، ندول‌ها و ریزلايهای اکسید آهن- منگنز در شبیب شمالی، و بقایای سنگی بیشتر در شبیب جنوبی، همگی از دلایل هوازدگی بیشتر خاک در شبیب شمالی نسبت به شبیب جنوبی می‌باشد. بطور کلی شبیب جنوبی، دارای خاک‌های با تحول کمتر (انتی سول) و شبیب شمالی دارای خاک‌های با تکامل بیشتر (آلفری سول) می‌باشد.

واژه‌های کلیدی: بیولوژی خاک، خصوصیات فیزیکی و شیمیایی خاک، میکرومorfولوژی خاک، ندول‌های اکسید آهن- منگنز

مقدمه

به خاک است (۲۵). در مطالعه‌ای توسط بگیوم و همکاران با عنوان تأثیر جهت شبیب بر روی ویژگی‌های فیزیکو‌شیمیایی و بیولوژیکی خاک تفاوت معناداری در اکثر خصوصیات خاک از جمله رطوبت، دما، تنوع و فراوانی جانداران، مقدار مواد آلی، کربن آلی، جرم مخصوص ظاهری و پ هاش در دو جهت متفاوت شبیب مشاهده شد. در خاکهای با شبیب رویه شمال مقدار کربن آلی، رطوبت، تنوع و فراوانی جانوران خاک بالاتر و پ هاش و دمای کمتری مشاهده گردید. تغییرات ناشی از جهت شبیب به واسطه تغییر در ریزاقلیم ایجاد شده است، که باعث تفاوت در تنوع و فراوانی جانوران، رطوبت خاک، دما و تغیرات مواد آلی شده است و درنهایت بر حاصلخیزی و کیفیت خاک تأثیرگذاشته است (۲).

در نواحی مدیترانه‌ای شبیه‌های رو به جنوب تشعشعات خورشیدی بالاتری دریافت می‌کند که بر دمای خاک، رطوبت خاک، عناصر غذایی، و فرایندهای خاکدانه سازی تأثیر می‌گذارد که بر نوع پوشش گیاهی تأثیر می‌گذارد. در مقابل شبیه‌های رو به شمال به طور کلی تشعشعات خورشیدی کمتری دریافت می‌کند و در نتیجه نرخ تبخیر و

تغییرات مکانی ویژگیهای خاک به طور معنی‌داری توسط بعضی عوامل محیطی مانند اقلیم، ویژگی‌های زمین نما از جمله موقعیت زمین‌نما، توپوگرافی، درجه و تکامل شبیب، مواد مادری، و پوشش گیاهی کنترل می‌شود (۱۱، ۳۰ و ۳۴). توپوگرافی در اکوسیستم‌های جنگلی با تغییر در الگوی بارش بر روی ریزاقلیم‌های محلی، دما و رطوبت نسبی تأثیرگذار است (۴۸ و ۴۹) و به طور معنی‌داری بر بافت و مواد آلی خاک، فعالیت جمعیت‌های میکروبی، بیوایانی و اکولوژی میکروبیوتای خاک تأثیر می‌گذارد (۴۳). تغییرات در زیستوده میکروبی وابسته به ترکیب رطوبت خاک، دما، فعالیت ریشه و بازگشت مواد آلی

۱- دانشجوی دکترای خاکشناسی (پیدایش، ردیبدی و ارزیابی خاک)، دانشگاه شهرکرد

۲- نویسنده مسئول: (Email: moslem.zarini@ymail.com)

۳- استادیار خاکشناسی (پیدایش، ردیبدی و ارزیابی خاک)، دانشگاه کردستان

۴- دانشجوی دکترای خاکشناسی (پیدایش، ردیبدی و ارزیابی خاک)، دانشگاه تبریز

خصوصیات میکرومورفولوژیکی خاک بایستی با تشریح مقاطع نازک خاک کار را شروع کرد، و برای تشریح مقاطع نازک خاک بایستی از فابریک خاک صحبت به میان آورد که عبارت از سازماندهی، طرز قرار گرفتن و طرز عمل اجزاء تشکیل دهنده خاک نسبت به همدیگر است. هدف از مطالعات میکرومورفولوژی خاک، شناسایی اجزای مختلف تشکیل دهنده خاک و همچنین شناسایی روابط بین این اجزاء و یا به عبارت دیگر طرز قرار گرفتن ذرات خاک نسبت به هم در فضا و در طول زمان است (۴۲). به طور مثال با تشریح اجزای معدنی درشت خاک به منشاً خاک (جنس سنگ مادر)، میزان تخریب در مواد مادری، فرایندهای پدوزنیک در خاک چه مربوط به حال و چه گذشته و حتی به ذخیره بالقوه عناصر غذایی در خاک می‌توان پی بردا. خرمالی و شمسی (۲۰) با مطالعه جنگل‌های طبیعی و مصنوعی تحت پوشش جنگلی بلוט حوزه قپان در استان گلستان به این نتیجه رسیدند که خاک‌های جنگل طبیعی دارای تحول بهتر بوده که این عامل به نوع مواد مادری آن‌ها (لس) مربوط می‌شود. مطالعات میکرومورفولوژیک آن‌ها ریز ساختمان دانه‌ای و متخلخل، حفرات کانال و پوسته رسی را در این خاک‌ها نشان داد. مطالعات فراوانی بر روی خصوصیات میکرومورفولوژیکی خاک‌های جنگلی و مرتعد انجام گرفته است که در این میان می‌توان به مطالعات بیرکلن (۳) اشاره کرد که شش خصوصیت خاک شامل اجیادن، روشنایی رنگ (ولیو)، بافت کل، پوسته‌های رسی، ساختمان خاک و رنگ ماتل در طول خاکرخ را به عنوان شخص‌های تکامل خاک ارزیابی کرده است. همچنین دبیودسون و همکاران (۱۳)، با استفاده از تکنیک‌های میکرومورفولوژی به مطالعه اثر جانوران خاک بر روی خصوصیات خاک در پوشش علفزار پرداختند. آنان ۸ نوع عوارض فضولات جانوری را گزارش نموده و بیان داشتند که اغلب این فضولات مربوط به کرم خاکی است در حالی که فضولات کنه خاکی به مقدار کم و تنها در افق‌های سطحی خاک مشاهده گردید.

از آنجایی که پژوهش در زمینه خاک‌های اراضی جنگلی شمال ایران یک ضرورت بسیار مهم به خصوص برای برنامه‌ریزی‌های آینده محسوب می‌شود، تحقیق حاضر به منظور مطالعه تأثیر جهت شبیب بر خصوصیات فیزیکی، شیمیایی و میکرومورفولوژیکی خاک و در کل تأثیر بر پیدایش خاک‌های متفاوت در منطقه رستم آباد شمالی در استان گیلان صورت گرفت.

مواد و روش‌ها

تشریح منطقه مورد مطالعه

این مطالعه روی دو جهت شبیب متفاوت شمالی و جنوبی با پوشش جنگلی انجیلی-بلوط از حوزه رشته رود رستم‌آباد شمالی انجام شد. درختان انجیلی، درختی برگ ریز با نام علمی *Parrotia*

تعرق کمتری نسبت به شبیب جنوبی دارد (۲۷، ۲۳ و ۳۴). در مطالعه تأثیر جهت شبیب بر خصوصیات خاک بایستی به تأثیر مستقیم جهت شبیب بر مقدار ذخیره و نگذاشت آب در خاک اشاره نمود به طوری که در مطالعه جری آمده است (۱۶) که در شبیب شمالی نسبت به شبیب جنوبی مقدار ۲۵ درصد نگه داشت آب بیشتر بوده است که این اثر جهت شبیب در نگه داشتن آب در خاک در شبیب شمالی باعث افزایش ضخامت و عمق خاک در منطقه‌ی با خاکهای جنگلی در منطقه‌ی بوسی آیدaho امریکا شده است و در نهایت باعث افزایش تخلخل خاک، افزایش مقدار ماده آلی و افزایش مقدار سیلت در شبیب شمالی نسبت به شبیب جنوبی شده است. البته نگه داشت آب در خاک در درجه اول به بافت خاک، و همچنین مقدار دریافت انرژی خورشیدی بستگی دارد. در مطالعه‌ای دیگر تأثیرات آنی جهت شبیب باعث ذوب برف و افزایش تبخیر و تعرق شده است که باعث تأثیرات مهم‌تر، از جمله تأثیر بر مقدار عمق خاک و نوع پوشش گیاهی و نهایتاً نگه داشت آب شده است (۷). همچنین تأثیرات جهت‌های شبیب متفاوت بر عمق خاک (۲۱، ۲۱ و ۴۰ و ۴۶) و تأثیرات آنی جهت‌های شبیب بر هدایت هیدرولیکی متفاوت آب در خاک (۹) اثبات شده است. در مطالعه‌ای دیگر بر روی خاکهای لسی در چین در دو جهت متفاوت شمالی و جنوبی تفاوت در خصوصیات شیمیایی و میکروبیولوژیکی نشان داده است که به مقدار زیادی تفاوت در این ویژگی‌های خاک متأثر از بارش و دمای متفاوت هستند. همچنین این مطالعات نشان داده است که مقدار فسفر قابل دسترس در شبیب جنوبی به طور معنی داری بیشتر از شبیب شمالی بوده است، اما نیتروژن کل و مقدار کربن آلی در شبیب شمالی بیشتر از شبیب جنوبی بوده است (۵۰). تجمع مواد آلی خاک در شبیه‌های رو به شمال ناشی از کاهش تجزیه مواد آلی و همچنین افزایش تولید اولیه مواد آلی بوده است. همچنین جهت شبیب به طور معنی‌داری بر مقدار میانگین بارش و دمای سالانه، دما و رطوبت خاک، مواد آلی خاک، معدنی شدن نیتروژن، آمونیوم قابل عصاره گیری، دنیتریفیکاسیون، و فعالیتهای میکروبی تأثیرگذار بوده است (۱۷). در مطالعه‌ای دیگر نشان داده شده است که در شبیب های جنوبی که گرم‌تر هستند با افزایش میزان تجزیه مواد آلی مقدار تولید CO₂ افزایش یافته است (۲۲). در مطالعه‌ای دیگر نشان داده شد که میانگین دمای سالانه در شبیه‌های جنوبی بیشتر از شبیه‌های شمالی است و میانگین بارش سالانه در شبیه‌های شمالی بیشتر از شبیه‌های جنوبی است. همچنین در این مطالعه تأثیر جهت شبیب روی بیومس برگی در نواحی کوهستانی ژاپن نشان داده شده است که مقدار بیومس برگی در شبیب های رو به شمال بیشتر از شبیه‌های رو به جنوب بوده است (۴۵).

میکرومورفولوژی ابزار مهمی برای بررسی تکامل خاک، طبقه‌بندی و مدیریت آن محسوب می‌شود. به منظور بررسی

آبرفتی و بادرفتی دیده می‌شود که نهشته‌های آبرفتی جدیدتر بوده و به تراس‌های رودخانه‌ای معروف است (۱۲). از آنجایی که هر دو جهت شیب مورد مقایسه، دارای شرایط مشابهی از لحاظ اقلیم، درصد شیب، ارتفاع از سطح دریا، و مواد مادری می‌باشند، بنابراین جهات متفاوت شیب می‌تواند یکی از مهم‌ترین عوامل تمایز خاک‌های این ناحیه باشد.

نمونه برداری

پس از مشخص نمودن دامنه‌های شمالی و جنوبی در منطقه روی جهت‌های شیب متفاوت به صورت منظم در پنج نقطه (تکرار) اقدام به خفر خاکرخ گردید، به این صورت که ۴ خاکرخ در ۴ رأس مربع به بعد ۱۲۰ متر و یک خاکرخ در مرکز مربع مورد نظر خفر شد (شکل ۱). اطلاعات مورفولوژی خاکرخ‌های مرکزی در دو جهت شیب بر اساس کتاب تشریح خاکرخ (۳۹) تهیه شد. جدول ۱ خصوصیات مورفولوژیکی خاکرخ‌های مرکزی را در هر دو جهت متفاوت شیب نشان می‌دهد. خاک‌های منطقه در شیب جنوبی در گروه بزرگ Udorthents و در شیب شمالی در گروه بزرگ Hapludalfs طبقه بندی شدند (۴۱).

آزمایش‌های فیزیکی و شیمیایی

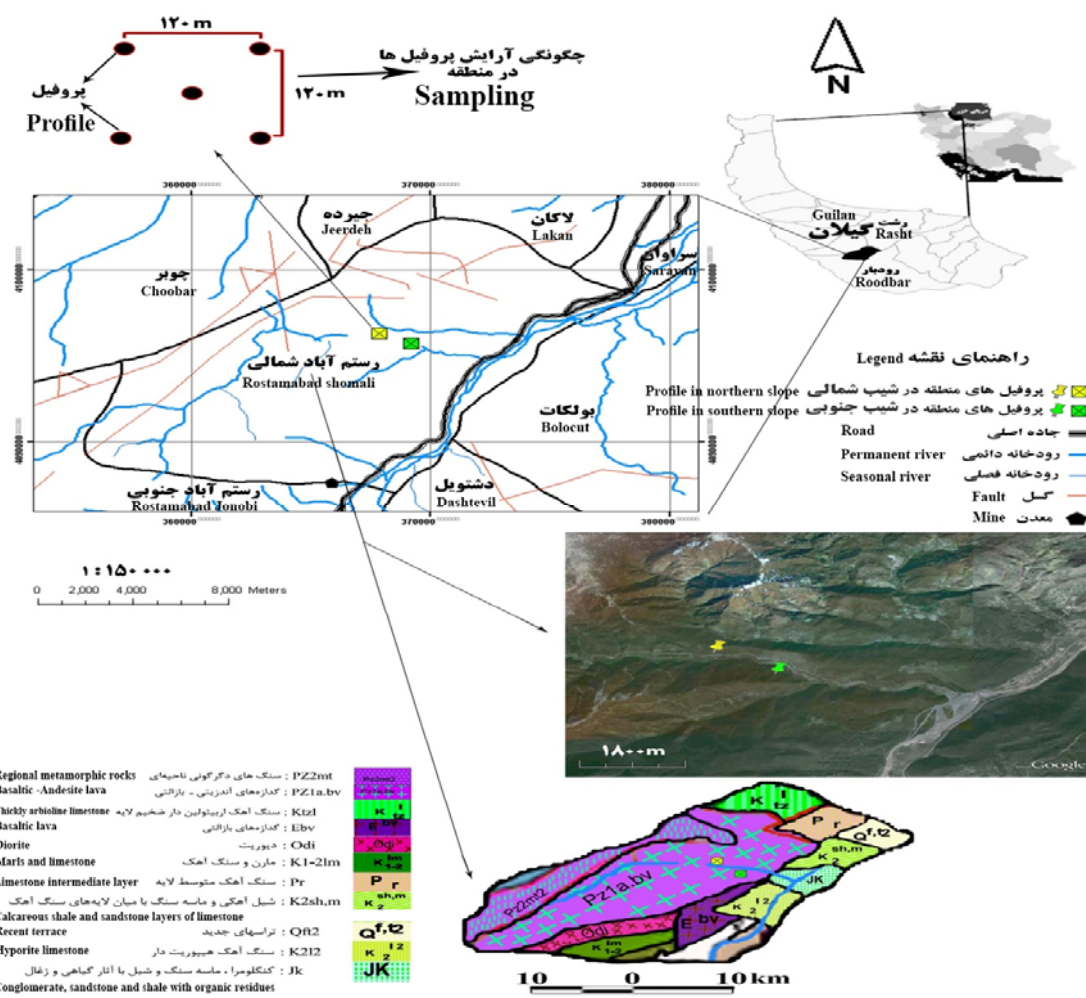
نمونه برداری از افق‌های مشخصه در تمام خاکرخ‌ها انجام شد و پس از هواشک شدن، آزمایش‌های فیزیکی و شیمیایی از جمله توزیع اندازه ذرات به روش هیدرومتر (۱۵)، جرم مخصوص ظاهری خاک به روش کلوخه (۸)، pH در نسبت ۱:۱ آب به خاک (۴۷)، ظرفیت تبادل کاتیونی (CEC) به روش آمونیوم در ۷ pH= (۴۳)، مقدار کربن آلی (OC) خاک با استفاده از روش والکلی و بلک نیتروژن کل به روش کجلال (۵) و مقدار فسفر قابل دسترس خاک به روش اولسن (۲۶) اندازه‌گیری شد.

مطالعات میکرومورفولوژی

به منظور مطالعات میکرومورفولوژی، نمونه‌های دست نخورده بصورت کلوخه‌های بزرگ (با مشخص نمودن جهت‌های آن‌ها) برداشته شد. از روش ارایه شده توسط مورفی (۳۲) برای تهیه مقاطع نازک میکروسکوپی استفاده شد. بررسی میکرومورفولوژیکی خاک‌ها در مقاطع نازک با میکروسکوپ پولاریزان در دو حالت نور پولاریزه عادی (PPL) و نور پولاریزه مقاطع (XPL) صورت گرفت. از راهنمای تشریح میکرومورفولوژیکی بولاک و همکاران (۸) و استوپس (۴۳) برای تشریح مقاطع استفاده شد.

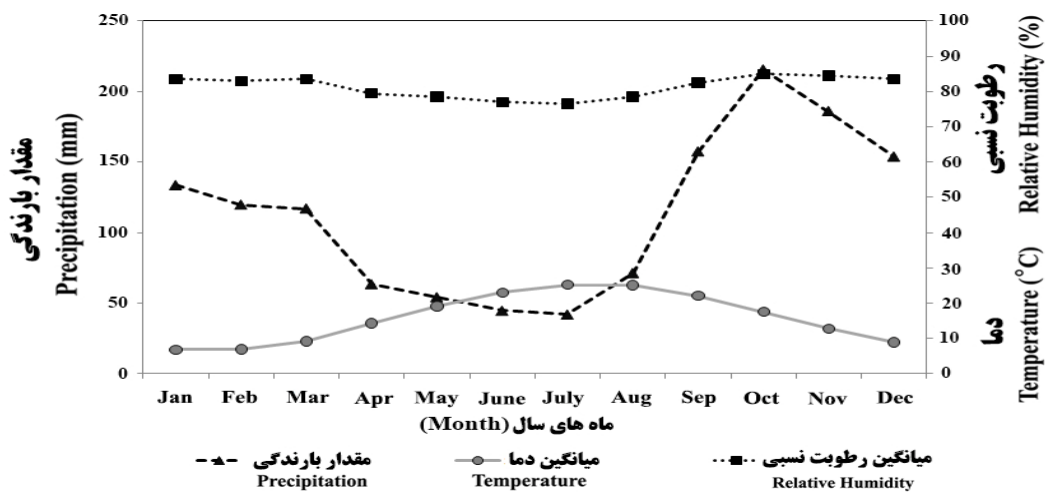
Hamamelidaceae از تیره persica بوده که در مناطق کم ارتفاع جنگل‌های شمال حداکثر تا ارتفاع ۱۵۰۰ متر دیده می‌شود که به نامهای مختلف از قبیل انجیلی، آسوندار و دمیرآغاجی نیز شناخته می‌شود (۱۸). این گونه جنگلی به دلیل داشتن چوب بسیار سخت "چوب آهن" یا Iron wood نامیده می‌شود. به راحتی زادآوری می‌کند و به صورت دانه زاد، شاخه زاد و پاچوش گسترش می‌یابد. خاستگاه رویشی آن جنگل‌های هیرکانی شمال ایران بوده که به واسطه مصنوع ماندن از یخبندان دوره سوم زمین شناسی بر جامانده و در سایر نقاط در اثر یخبندان عمومی زمین از بین رفته است و بومی ایران است. این گونه بیشتر در نواحی جلگه‌ای و نواحی میان‌بند جنگلی دیده می‌شود البته شرایط مطلوب برای رشد درخت محیط‌های مرطوب و دور از سرمای شدید، در خاک‌های غنی و اسیدی است. از لحاظ سیستم ریشه‌ای دارای ریشه‌های افشار می‌باشد (۳۷).

گونه بلوط با نام علمی Quercus castaneifolia از مهم‌ترین گونه‌های صنعتی است که خاص شمال ایران (منطقه خزری) است. به طوری که ۶/۶ درصد از سطح جنگل‌های شمال و از لحاظ حجم تقریباً ۸/۰۱ درصد از حجم چوبی و از لحاظ تعداد ۷/۶۵ درصد درختان جنگل‌های شمال را به خود اختصاص می‌دهد (۳۶). این گونه به دلیل داشتن دامنه اکولوژیک گسترده و سازگاری مناسب با شرایط اقلیمی و خاکی بسیاری از مناطق خزری و همچنین با توجه به ارزش بالای اقتصادی و زیست محیطی آن به عنوان یکی از بهترین گونه‌های بومی برای احیای مناطق مخروبه محسوب می‌شود (۳۶). محدوده مورد مطالعه با وسعت تقریبی ۱۴۰۰۰ متر مربع برای هر جهت شیب، در فاصله ۳۵ کیلومتری جنوب غربی شهرستان رشت قرار دارد. دامنه با شیب جنوبی با ارتفاع متوسط ۲۴۰ متر از سطح دریا در طول جغرافیایی ۳۶۹۲۰۵ تا ۳۶۹۳۲۵ متر مترشرقی و عرض جغرافیایی ۴۰۹۵۹۵۰ تا ۴۰۹۵۹۵۰ متر شمالی (در سیستم UTM) و دامنه با شیب شمالی با ارتفاع متوسط ۲۴۰ متر از سطح دریا در طول جغرافیایی ۳۶۷۸۰۵ تا ۳۶۷۹۲۵ متر و عرض جغرافیایی ۴۰۹۶۲۵ متر (در سیستم UTM) قرار دارد (شکل ۱). واحد فیزیوگرافی منطقه کوهستان، و شیب متوسط در هر دو منطقه حدود ۴۰ درصد بوده است. اطلاعات اقلیمی منطقه از نزدیکترین ایستگاه هواشناسی (ایستگاه سینوپتیک رشت) دریافت شد (شکل ۲). بر این اساس میانگین مقدار بارندگی و دمای سالانه به ترتیب ۱۳۵۹ میلی‌متر و ۱۶ درجه سلسیوس است. میانگین رطوبت نسبی نیز ۸۱/۳ درصد بوده است. منطقه مورد مطالعه دارای رژیم رطوبتی یودیک و رژیم حرارتی ترمیک می‌باشد. مواد مادری خاک‌های منطقه رستم آباد شمالی از سنگ‌های ولکانیکی از جنس آندزیت بازالتی تشکیل شده است که سن سازنده‌های زمین شناسی منطقه مربوط به دوران سوم زمین شناسی (ترشیاری) می‌باشد. در بخش‌هایی از منطقه نهشته‌های



شکل ۱- موقعیت و زمین‌شناسی منطقه مورد مطالعه در رستم آباد شمالی استان گیلان

Figure 1- Location and geology map of the study area in Northern Rostam Aabad regions in Guilan Province



شکل ۲- اطلاعات اقلیمی منطقه مورد مطالعه شامل میانگین دما، مقدار بارندگی و میانگین رطوبت نسبی

Figure 2- Climate information of study area contains temperature mean, precipitation content and relative humidity mean

جدول ۱- اطلاعات مورفولوژیکی خاکرخ‌های مرکزی در جهت‌های شمالی و جنوبی

Table 1- Morphological information of central soil profile in northern and southern aspects

افق Horizon	عمق Depth (cm)	باندروی ^۱ Boundary	رنگ خاک Soil color		ساختمان ^۲ Structure	بافت ^۳ Texture	پایداری ^۴ Consistence		پوسته ^۵ Root رسی ^۶ Clay coating					
			خشک Dry	مرطوب Moist			مرطوب Moist	خیس Wet						
خاکرخ مرکزی در جهت شیب شمالی، گروه بزرگ														
Hapludalfs														
Central soil profile in northern aspect, great group Hapludalfs														
A	0-15	gs	7.5YR5/3	7.5YR4/3	3cgr	CL	fr	ss/ps	-	3f				
AB	15-40	cs	7.5YR6/3	7.5YR4/2	2msbk	CL	fi	ss/p	-	2f				
Bt	40-90	cw	7.5YR4/4	7.5YR3/2	2sbk	C	vfi	s/p	2mk	-				
C	+90	-	-	-	m	-	-	-	-	-				
خاکرخ مرکزی در جهت شیب جنوبی، گروه بزرگ														
Udorthents														
Central soil profile in southern aspect, great group Udorthents														
A	0-20	aw	10YR6/5	10YR4/3	3cgr	L	fr	ss/ps	-	3m				
Cr	20-45	gw	10YR5/4	10YR4/3	m		fr-fi	ss/ps	-	-				
R	+45	-	-	-	-	-	-	-	-	-				

a- ناگهانی، c- مشخص، g- تدریجی، w= موجی، s- صاف؛^۱- نسبتاً قوی؛^۲- قوی، c- داشت، f- ریز، m- متوسط؛ gr- ریز، abk- دانه‌ای، -sbk- مکعبی گوشهدار، -abk- مکعبی لبه مدور، -nd- نوده‌ای، CL- لوم رسی، C- رسی، L- لومی،^۳- سختند، fi- سفت؛ vfi- خیلی سفت، ss- کمی چسبنده، s- چسبنده، ps- کمی شکل پذیر، p- شکل پذیر،^۴- ۲- نسبتاً زیاد، mk- نسبتاً ضخیم،^۵- ۲- معمول، -3- زیاد، f- ریز، m- متوسط

gr-granular, abk-^۱a-abrupt, c-clear, g-gradual, w-wavy, s-smooth, ²2- moderately strong 3-strong, c-coarse, f-fine, m-medium angular blocky, sbk-subangular blocky, m- massive.³cl-clay loam, c-clay, L-loam, ⁴fr-fragile, fi-firm, vfi-very firm, ss- slightly sticky, ps- slightly plastic, p-plastic, ⁵2- moderately high, mk- moderately thick, ⁶2-medium, 3- high, f-fine, m-medium

نتایج

برخی از خصوصیات فیزیکی و شیمیایی خاکرخ مرکزی در جهت شیب شمالی و جنوبی در جدول‌های ۲ و ۳ ارایه شده است. نتایج نشان می‌دهد که به علت شیب دار بودن منطقه خاک‌ها دارای عمق زیادی نیستند که البته این وضعیت در خاکرخ شیب جنوبی به خوبی مشهود است. مقدار رس در خاکرخ شیب شمالی بیشتر از شیب جنوبی بوده و بیشترین مقدار آن نیز در افق Bt است. درصد تخلخل در دو جهت شیب به علت پوشش جنگلی منطقه تفاوت چندانی را نشان نمی‌دهد. مقدار جرم مخصوص ظاهری در کل خاکرخ در دو جهت شیب با افزایش عمق افزایش می‌یابد. مقدار pH در خاکرخ جهت جنوبی در افق سطحی بالاتر از جهت شمالی است. مقدار کربن آلی و نیتروژن با افزایش عمق کاهش می‌یابد و در خاکرخ جهت شمالی بیشتر از خاکرخ جنوبی بوده است. مقدار فسفر قابل دسترس نیز یک روند کاهشی را با افزایش عمق در هر دو جهت شیب نشان می‌دهد. مقدار ظرفیت تبادل کاتیونی نیز در خاکرخ جهت شمالی اندکی بیشتر از خاکرخ جهت جنوبی است (جدول‌های ۲ و ۳).

مطالعات آماری

این تحقیق در قالب طرح کاملاً تصادفی چند مشاهده‌ای با پنج تکرار اجرا شده است. تعداد ۳۴ نمونه خاک در دو جهت شیب از کل نیمخر ها جمع آوری شد و تمام نمونه ها مورد آزمایش و تجزیه و تحلیل آماری قرار گرفتند. از آنجایی که تنها دو گروه (جهت شیب) در تجزیه واریانس مورد مقایسه قرار می‌گیرند، آزمون F و t معادل خواهند بود. در ابتدا به منظور مقایسه کلی خصوصیات فیزیکی و شیمیایی خاک، با ارتکاب حداقل اشتباہ نوع I از روش‌های آماری چند متغیره (MANOVA) (مانند آزمون ^۲T هتلینگ) (که در واقع چند بسط یافته آزمون t است) استفاده شد. روش ^۲T هتلینگ در واقع چند جامعه را از نظر چند صفت بررسی می‌کند. شرط انجام این روش این است که داده‌ها دارای توزیع نرمال باشند. بنابراین نرمال سازی داده‌ها انجام شد. در ادامه دو جهت متفاوت شیب از لحاظ تک تک صفات، مورد بررسی قرار گرفتند و صفاتی که بیشترین نقش را در ایجاد اختلاف معنی دار بین دو جهت شیب دارند و صفاتی که جهت شیب تأثیر بیشتری روی آنها داشته است تعیین شدند. تجزیه‌های آماری پس از جمع آوری داده‌ها با استفاده از نرم‌افزار SPSS انجام شد.

جدول ۲- خصوصیات فیزیکی و شیمیایی خاکرخ مرکزی در جهت شیب شمالی

Table 2- Physical and chemical characteristics of central soil profile in northern aspects

Physical characteristics						
افق Horizon	عمق Depth (cm)	شن Sand	سیلت Silt (%)	رس Clay	تخلخل Porosity (%)	جرم مخصوص حقیقی Bulk density (g.cm⁻³)
A	0-15	32.3	35.46	32.24	35.43	1.21
AB	15-40	27.93	36.57	35.5	31.86	1.36
Bt	40-90	28.1	24.82	47.08	38.56	1.47
C	+90	-	-	-	-	-

Chemical characteristics						
افق Horizon	عمق Depth (cm)	pH	کربن آلی OC	نیتروژن کل Total N (%)	فسفر قابل دسترس Ava P (mg.kg⁻¹)	ظرفیت تبادل کاتیونی CEC (Cmol.kg⁻¹)
A	0-15	6.09	5.148	0.27	2.29	37.19
AB	15-40	5.95	2.788	0.181	1.25	33.92
Bt	40-90	5.66	1.053	0.081	0.95	35.87
C	+90	-	-	-	-	-

جدول ۳- خصوصیات فیزیکی و شیمیایی خاکرخ مرکزی در جهت شیب جنوبی

Table 3- Physical and chemical characteristics of central soil profile in southern aspects

Physical characteristics						
افق Horizon	عمق Depth (cm)	شن Sand	سیلت Silt (%)	رس Clay	تخلخل Porosity (%)	جرم مخصوص حقیقی Bulk density (g.cm⁻³)
A	0-20	43.66	31.3	25.04	34.55	1.25
Cr	20-45	54.5	23.35	22.15	36.5	1.45
R	+45	-	-	-	-	-

Chemical characteristics						
افق Horizon	عمق Depth (cm)	pH	کربن آلی OC	نیتروژن کل Total N (%)	فسفر قابل دسترس Ava P (mg.kg⁻¹)	ظرفیت تبادل کاتیونی CEC (Cmol.kg⁻¹)
A	0-20	6.29	2.65	0.195	3.65	25.20
Cr	20-45	5.95	0.2	0.04	0.8	18.12
R	+45	-	-	-	-	-

ویژگی‌های مورد اندازه‌گیری بین خاک‌های دو جهت شیب متفاوت وجود دارد (ستون $F > F_{Pr}$ در جدول ۴ این امر را نشان می‌دهد). کمیت‌های مربوط به این آزمون عبارتند از:

$$T^2 = +34/28823614 \quad F = +8/0.678$$

برای اطمینان از وجود تفاوت‌ها در دو جهت شیب متفاوت از آزمون تجزیه واریانس چند متغیره آماری و T^2 هتلینگ استفاده شد. این آزمون‌ها به منظور بررسی اختلاف کلی بین دو جهت شیب متفاوت از لحاظ تمامی ویژگی‌های خاک انجام شد. این تجزیه‌ها نشان دادند اختلاف معنی‌داری در سطح احتمال ۰/۰۵ از نظر مجموعه

جدول ۴- تجزیه واریانس چندمتغیره بین دو جهت شیب متفاوت از لحاظ کلیه خصوصیات اندازه‌گیری شده خاک‌ها

Table 4- Multivariable analysis of variance between different aspects contact with measured ofentire properties

Statistical test	Value	F	Num DF	Den DF	Pr > F
Wilks' Lammda	0.02833806	8.0678	17	4	0.0281
Pillai's Trace	0.97166194	8.0678	17	4	0.0281
Hottelling-Lawley Trace	34.28823614	8.0678	17	4	0.0281
Roy's Greatest Root	34.28823614	8.0678	17	4	0.0281

نیتروژن کل و درصد سیلت اختلاف معنی‌داری در کل خاکرخ مشاهده نشد (جدول ۵). علامت منفی مقادیر t برای برخی از خصوصیات نشانگر میانگین بیشتر آن خصوصیات در جهت شیب شمالی نسبت به جهت شیب جنوبی است و علامت مثبت مقادیر t حالت عکس را نشان می‌دهد. نتایج آزمون t همچنین نشان داد که مقدار pH درصد شن، نسبت شن به رس و فسفر قابل جذب در شیب جنوبی بیشتر از شیب شمالی بود در حالی که درصد رس و ظرفیت تخلخل کاتیونی در شیب شمالی بیشتر از شیب جنوبی بود (جدول ۵).

به منظور بررسی شفاف‌تر اختلاف بین دو جهت شیب متفاوت، مقایسه میانگین برای تک تک صفات انجام شد و نتایج آزمون t برای مقایسه خصوصیات اندازه‌گیری شده در کل خاکرخ، در جدول ۵ ارایه شده است. این جدول نشان می‌دهد اختلاف میانگین‌ها در دو جهت تخلخل کاتیونی در سطح احتمال 0.01 و برای درصد شن، درصد تخلخل و فسفر قابل جذب در سطح احتمال 0.05 معنی‌دار بود (جدول ۵). در حالی که برای جرم مخصوص ظاهری، درصد کربن آلی، درصد

جدول ۵- نتایج آزمون t برای مقایسه خصوصیات فیزیکی و شیمیایی خاک در دو جهت متفاوت شیب

Table 5- Results of t test to comparison soil physical and chemical characteristics in two different aspects

ردیف	خصوصیات اندازه‌گیری شده Characteristics measured	میانگین		واریانس		حدود اطمینان برای اختلاف میانگین‌ها در سطح احتمال 0.05 confidence intervals of mean differences for 0.05 significant level	
		شیب شمالی Northern slope	شیب جنوبی Southern slope	شیب شمالی Northern slope	شیب جنوبی Southern slope		
1	درصد شن Sand (%)	35.72	44.9	68.44	39.48	2.592*	9.1733 ± 7.381
2	درصد سیلت Silt (%)	27.66	31.185	72.32	2.89	1.435 ns	3.519 ± 1.133
3	درصد رس Clay (%)	36.54	24.1	40.27	3.169	-4.400**	$-12/440 \pm 5.897$
4	نسبت شن به رس Sand/Silt	0.986	2.081	0.134	1.262	3.479**	1.0963 ± 0.656
5	درصد تخلخل Porosity (%)	31.98	35.23	8.5302	4.5974	2.615*	3.2445 ± 2.588
6	جرم مخصوص ظاهری Bulk density	1.23	1.28	0.0063	0.0014	1.741 ns	0.0558 ± 0.0067
7	جرم مخصوص حقیقی Partial density	2.25	2.24	0.0018	0.0012	1.11 ns	0.0348 ± 0.0019
8	pH	5.73	6.27	0.0545	0.0267	5.433**	0.5347 ± 0.205
9	درصد کربن آلی OC (%)	2.921	2.421	2.369	3.276	1.053 ns	0.7835 ± 0.552
10	درصد نیتروژن کل Total N (%)	0.184	0.19	0.0071	0.0779	1.202 ns	0.04554 ± 0.008
11	فسفر قابل جذب Ava P	1.414	2.754	0.4074	1.5896	2.657*	1.34 ± 1.177
12	ظرفیت تخلخل کاتیونی CEC	35.376	31.685	2.26	8.32	-3.991**	-3.6903 ± 1.928

*، **، ns به ترتیب اختلاف معنی‌دار در سطح احتمال 0.01 و 0.05 و اختلاف غیر معنی‌دار را نشان می‌دهند.

*، **، ns significant difference in 1% and 5% and nonsignificance difference respectively

وضوح پائینی برخوردارند. بقایای ریشه همراه با فضولات داخل آن‌ها در اکثر افق‌های سطحی (افق A) شیب شمالی مشاهده شد (شکل ۴-الف و ۴-ب). حفرات کanal، چمبر و واگ به وفور در هر دو جهت شیب (در اکثر افق‌ها) مشاهده شدند (شکل‌های ۳-ت، ۳-د، ۴-ج و ۴-ح). بقایای ریشه (هم به صورت مقطع طولی و هم به صورت

مطالعات میکرومورفولوژیکی در خاکرخ‌های دو جهت شیب شمالی و جنوبی نشان داد که خاکدانه‌ها از دانه‌ای قوی (در افق‌های سطحی A) تا مکعبی بدون گوشه متوسط (در افق B) است (شکل‌های ۳-ت، ۳-ج و ۴-ح) و دارای درجه وضوح بالایی است. در افق‌های زیر سطحی خاکدانه‌ها عمدتاً تشکیل نشده و یا از درجه

برای جرم مخصوص ظاهری خاک در خاکرخ‌های خاک در دو جهت شبیب متفاوت اختلاف معنی‌دار مشاهده نشد. البته با افزایش عمق خاک از سطح به لایه‌های پایین تر جرم مخصوص ظاهری به واسطه‌ی کاهش مواد آلی افزایش یافته است. ظرفیت تبادل کاتیونی در شبیب شمالی بیشتر از شبیب جنوبی بود. دو عامل رس و ماده‌آلی نقش مهمی در ظرفیت تبادل کاتیونی دارد. تغییرات و ذخیره ماده‌آلی خاک در هر زمان به مقدار و سرعت ورود آن به خاک بستگی داشته که از طریق بخش‌های هوایی و زیرزمینی پوشش گیاهی تأمین می‌شود که در شبیب‌های شمالی نسبت به شبیب‌های جنوبی بیشتر است (۵۰). مقدار کربن آلی و نیتروژن کل هم در افق A و هم در کل خاکرخ در دو جهت شبیب اختلاف معنی‌داری را نشان نداد که این امر می‌تواند به علت پوشش جنگلی یکسان (پوشش جنگلی مخلوط بلוט-انجیلی) در منطقه باشد. البته مقدار کربن آلی در افق‌های سطحی شبیب شمالی بیشتر از شبیب جنوبی می‌باشد ولی بطور کلی در کل خاکرخ (در کلیه افق‌ها) این اختلافات از نظر آماری معنی‌دار نشده است. همچنین مقدار کربن آلی از افق‌های سطحی به افق‌های زیری کاهش یافته است. این امر نشان می‌دهد که انباسته شدن ماده‌آلی به خاک دارای یک حالت تعادلی است (۳۸). هرچند مقدار کربن آلی تفاوت معنی‌داری را بین دو جهت شبیب نشان نداد اما مقدار رس بیشتر در شبیب شمالی نسبت به شبیب جنوبی باعث افزایش مقدار ظرفیت تبادل کاتیونی شده است. هاگن-تورن و همکاران (۱۹) نیز در مطالعه خود اختلاف معنی‌داری در عناصر کربن و نیتروژن در جهت‌های شبیب متفاوت مشاهده نکردند که این عامل را به بارندگی بالا در منطقه نسبت دادند. تغییرات نیتروژن کل به مقدار زیادی در ارتباط با تغییرات ماده‌آلی می‌باشد. عناصر غذایی آزاد شده از تجزیه لاشبرگ برای تولید پیوسته اکوسيستم مهم می‌باشند (۳۵). مقدار فسفر در شبیب جنوبی هم در افق سطحی و هم در کل خاکرخ به طور معنی‌داری بیشتر از شبیب شمالی است. فیشر و بینکلی (۱۳) گزارش کردند، افزایش pH خاک می‌تواند موجب افزایش فسفر قابل جذب خاک شود و در pH‌های نزدیک به خنثی مقدار آن بیشتر از pH‌های اسیدی‌تر است.

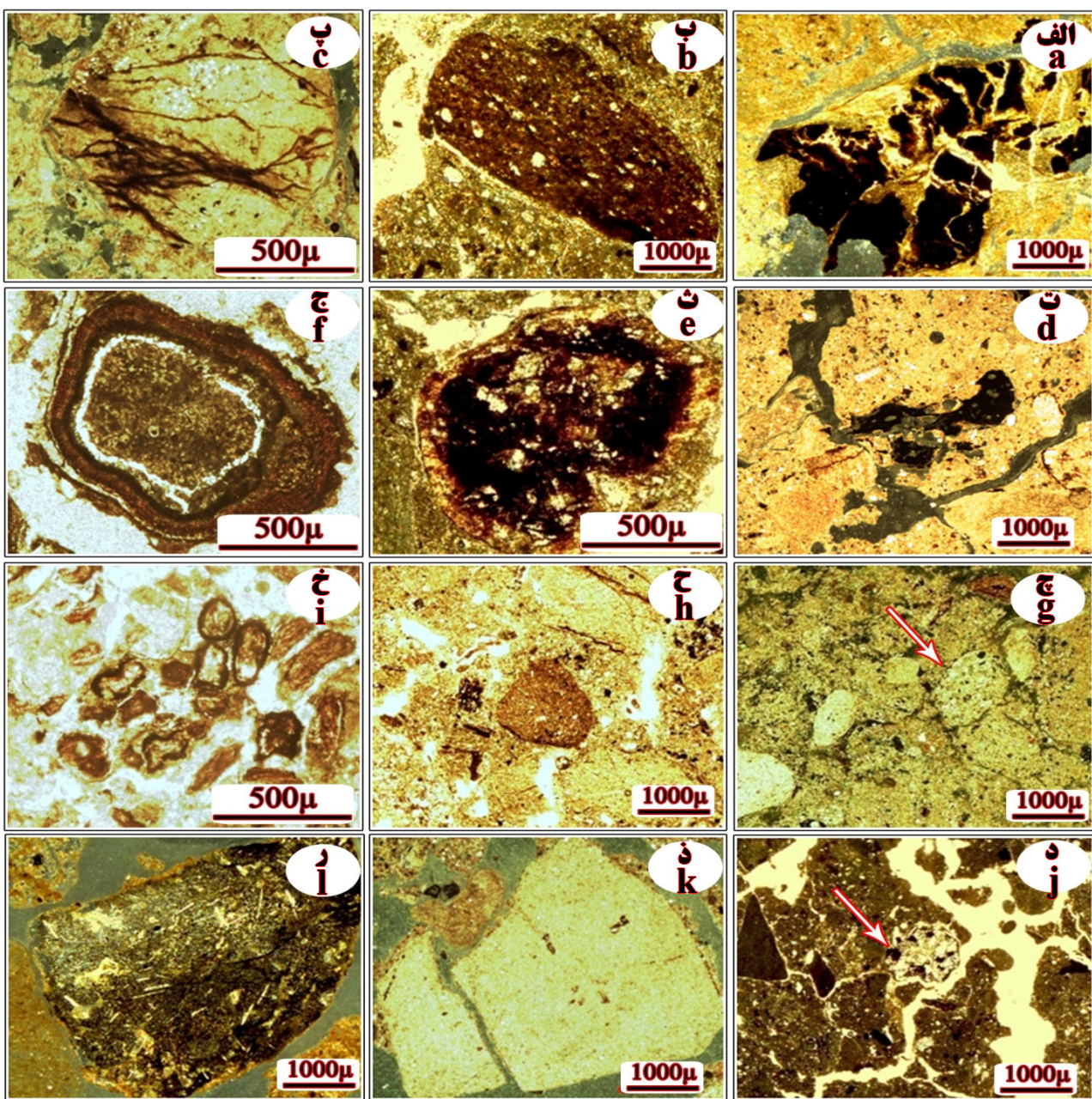
نتایج مطالعات میکرومورفولوژیکی نیز نشان داد که حفرات کanal، چمبر و واگ به مقدار فراوانی در هر دو جهت شبیب مشاهده شد. بخشی از حفرات چمبر را می‌توان به فعالیت فون خاک (سوسک‌های فضولات خوار و هزارپا) نسبت داد (۲۴)، که به مقدار فراوانی در هنگام نمونه‌برداری مشاهده شدند. مطالعات میکرومورفولوژیکی افق‌های سطحی خاکرخ‌ها نشان داد که خاکدانه‌ها از دانه‌ای قوی تا مکعبی بدون گوشه متوسط است. درجه وضوح بالای خاکدانه‌ها ناشی از طبیعی بودن منطقه جنگلی، دور بودن از مسیر راه‌ها و شبیب زیاد منطقه است که مانع عبور و مرور و تخریب ساختمان و خاکدانه‌ها می‌شود.

قطع عرضی) و اندام‌های گیاهی در هر دو جهت شبیب مشاهده شدند (شکل‌های ۳-ج، ۳-خ و ۴-ت). مواد آلی بی شکل (آمورف) تک قطعه و چند قطعه و سودومورف‌های آلی به وفور در هر دو جهت شبیب مشاهده شدند (شکل ۳-الف). پیگمان‌های آلی نیز در افق‌های سطحی و زیر سطحی در هر دو جهت شبیب مشاهده شد (شکل ۳-د). در شبیب شمالی فضولات بیضوی و کروی جانوران خاک درون بقایای ریشه مشاهده شد که رنگ این فضولات قهوه‌ای مایل به قرمز بود (شکل ۴-ب). در افق‌های تحتانی تعدادی خاکرخ‌ها در شبیب شمالی بی فابریک گرانواستریت مشاهده شد (شکل ۴-ج). بقایای سنگی (لیتورلیکت) به وفور در شبیب جنوبی مشاهده شد (شکل‌های ۳-ب، ۳-پ و ۳-ذ). بخشی از آن‌ها دارای هوادیدگی اندک بوده (شکل ۳-ذ) و برخی نیز دارای الگوی هوادیدگی نقطه‌ای بود (شکل ۳-پ). قطعات کانی فلدسپار سوزنی در آن به خوبی نمایان بود (شکل ۳-ب). زیرسطحی هر دو جهت شبیب مشاهده شد (شکل‌های ۳-ر و ۴-ث). همچنین کانی‌های دیگری از جمله پیروکسن (شکل ۴-ذ) و کوارتز (شکل ۴-ر) در افق زیرسطحی شبیب شمالی مشاهده شد که دارای هوادیدگی شدید بود.

همچنین عوارض بافتی از جمله کوتینگ‌های رس در دیواره حفرات (شکل ۴-ج) و پوشش رسی تورق یافته (پاپیول) (شکل ۴-خ) به وفور در افق Bt جهت شبیب شمالی مشاهده شد. در جهت شبیب جنوبی این عوارض مشاهده نشد یا خیلی ضعیف بود. اشکال آهن و منگنز به صورت نodule‌های اکسید آهن و منگنز در هر دو جهت شبیب مشاهده شد (شکل‌های ۳-ث، ۳-ح و ۴-پ). همچنین سوپرایمپوزهای آهن و منگنز در اطراف حفرات کanal (شکل ۴-ح) و ریزلایه (میکرولمینیشن) های آهن و منگنز که با رس مخلوط شده بودند (شکل ۴-د) از سایر اشکال آهن و منگنز بودند.

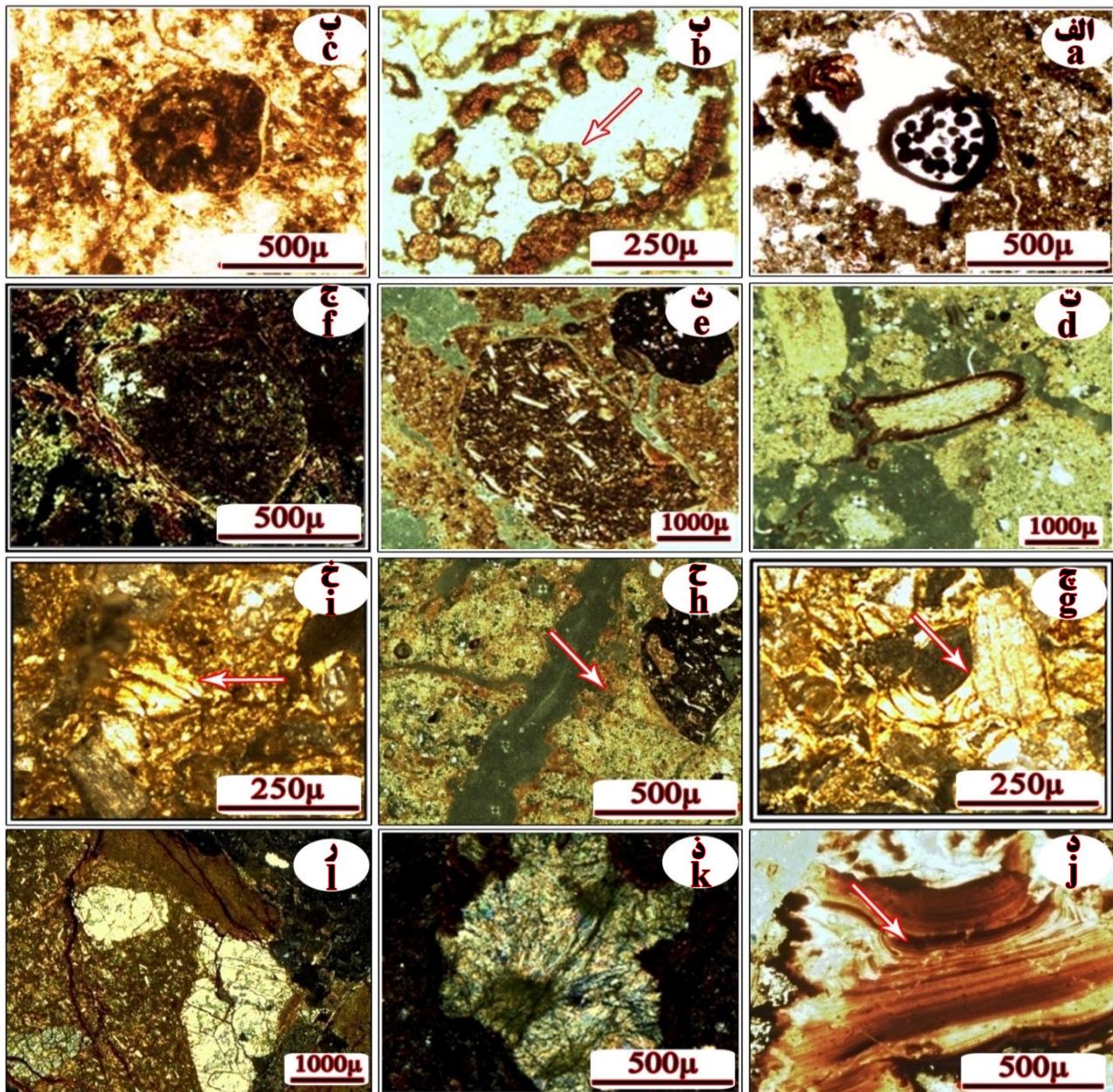
بحث

مقدار pH خاک هم در افق A و هم در کل خاکرخ در شبیب جنوبی بیشتر از شبیب شمالی بود. مقدار رس در شبیب شمالی هم در افق سطحی و هم در کل خاکرخ به طور معنی‌داری از شبیب جنوبی بیشتر است که ناشی از نگهداری از شبیب‌های شمالی نسبت به جنوبی و تبخیر کمتر آب از سطح خاک به واسطه دمای کمتر در خاک‌های شبیب‌های شمالی و در نهایت شرایط مساعدتر برای میکروارگانیسم‌های خاک و تجزیه و تخریب کانی‌های خاک می‌باشد. معمولاً نسبت شن به رس، معیاری برای تعیین تکامل خاک می‌باشد و این نسبت با تکامل خاک کاهش پیدا می‌کند. این نسبت در افق سطحی اختلاف معنی‌داری را نشان نداد ولی در کل خاکرخ، در شبیب جنوبی به طور معنی‌داری بیشتر از شبیب شمالی بود.



شکل ۳- عوارض میکرومورفولوژیکی خاک در جهت شیب جنوبی، a- سودومورفهای آلی روی خاکدانه در افق A (XPL)، b- بقایای سنگی (لیتورلیکت) با الگوی هوادیدگی نقطه‌ای در افق A (PPL)، c- بقایای سنگی که دارای رگه‌های اکسید آهن و منگنز است در افق A (XPL)، d- سودومورفهای آلی و حفرات از نوع کانال و چمبر در افق A (XPL)، e- نodule اکسید آهن و منگنز با مرز مشخص در افق A (PPL)، f- مقطع عرضی ریشه در افق A (PPL)، g- خاکدانه‌های مکعبی بدون زاویه در افق A (XPL)، h- نodule اکسید آهن و منگنز در افق A (PPL)، i- بقایای گیاهی (ریشه) در افق A (PPL)، j- پیگماتهای آلی و حفرات کانال و چamber در افق A (PPL)، k- بقایای سنگی در افق Cr (XPL) و l- قطعه کانی فلدهسبار در افق Cr (XPL).

Figure 3- micromorphological pedofeatures in southern slope, a-organic pseudomorph on aggregate in A horizon(xpl), b- lithorelict with dotted weathering in A horizon(ppl),c- lithorelict that have Fe and Mn Oxide veinsin A horizon(xpl), d- organic pseudomorph and channel and chamber voids in A horizon(xpl), e-Fe-Mn nodule with sharp boundary in A horizon(ppl), f-Cross-section of root in A horizon(ppl), g- subangular aggregate in A horizon(xpl), h- Fe and Mn nodule in A horizon(ppl), i- root plant remnant in A horizon(ppl), j- organic pigments and channel and chamber voids in A horizon (ppl), k- lithorelict in Cr horizon(xpl) and l-felddespat lithorelict in Cr horizon(xpl)



شکل ۴- عوارض میکرومورفولوژیکی خاک در شیب شمالی، الف- بقایای ریشه و فضولات جانوران خاکزیدر افق A (PPL)، ب- بقایای ریشه و فضولات جانوران خاکزی احتمالاً مربوط به کنه‌های خاکی در افق A (PPL)، پ- نودول اکسید آهن و منگنز در افق A (PPL)، ت- مقطع طولی ریشه در افق A (XPL)، ث- کانی فلدسپار سوزنی در افق AB (XPL)، ج- بی فابریک گرانواستریت در افق Bt (XPL)، چ- کوتینگ هلالی اطراف حفره واگ در افق Bt (XPL)، ح- آهن و منگنز سوبر ایمپوز شده روی دیواره حفره کانال در افق Bt (XPL)، خ- پوشش رسی تورق یافته (پاپیول) در افق Bt (XPL)، د- ریزلايهای (میکرولمینیشن) آهن و منگنز همراه با رس در افق Bt (XPL)، ذ- قطعه کانی پیروکسن در حال تجزیه در افق Bt (XPL)، ز- کانی کوارتز با الگوی هوادیدگی نامنظم در افق Cr (XPL) و ر- کانی کوارتز با الگوی هوادیدگی نامنظم در افق Cr (XPL).

Figure 4- micromorphological pedofeatures in northern slope, a- root residual with excrement inside in A horizon(ppl), b- root remnants with excremental pedofeature probably by oribatid mites in A horizon (ppl), c- Fe and Mn oxide nodules in A horizon (ppl), d- Longitudinal sectionof rootin A horizon(xpl), e- Feldspar needle mineral in AB horizon(xpl), f- grnostriated b-fabric in Bt horizon(xpl), g-microlaminated clay coating as crescent around a vugh in Bthorizon(xpl), h- superimposedFe and Mn on channel void wallin Bt horizon(ppl), iFragment clay coating (papule) in Bt horizon(xpl), j-Fe and Mnmicrolaminated with clay in Bt horizon (xpl), k- lithorelict of weathering pyroxene in Cr horizon(xpl) and l-Qoartz mineral with irregular weathering in Cr horizon(xpl).

مواد هوموسی باعث پوشیده شدن بیرفرنژانس رس می‌گردد، اما هنگامی که ذرات رس حرکت کرده و به صورت تعلیق به عمق می‌رسند از مواد معلق موجود خارج شده و به صورت نوارها و دومین-هایی در اطراف دانه‌های شن و ذرات معدنی قرار گرفته و تشکیل بی‌فابریک گرانواستریتید را می‌دهد (۲۹). همچنین هنگامی که ذرات معدنی موجود در متن خاک در برابر هوادیدگی مقاوم هستند مانند کوارتز و فلذسپار ذرات رس در اطراف این ذرات جهت‌گیری کرده و بی‌فابریک گرانواستریتید را تشکیل می‌دهند (۱۰).

بقایای سنگی (لیتولیک) عارضه دیگری است که بیان کننده شروع فرایند هوادیدگی سنگ بستر و شروع فرایند پیدایش خاک است که در شیب جنوبی بیشتر مشاهده شد و در شیب شمالی این عارضه کمتر رویت شد که بیانگر گذر از این مرحله در شیب شمالی است و سبب اکسیداسیون بیشتر آهن و منگنز در محل شکستگی‌های بقایای سنگی شده است. البته هوادیدگی نقطه‌ای در برخی موارد در شیب جنوبی مشاهده شد ولی اکثر بقایای سنگی قادر شواهد هوادیدگی بودند. شواهد هوادیدگی به خوبی در بقایای سنگی شیب شمالی مشاهده شد. در بقایای سنگی خاک هر دو نوع پوشش جنگلی، رگه‌های آهن و منگنز به خوبی نمایان است که می‌توان آن را به منشاً مواد مادری آن‌ها نسبت داد. از عوارض دیگر مشاهده شده در خاکرخهای هر دو جهت شیب، عوارض آمورف هستند که شامل عوارض آمورف تک شکلی و چند شکلی است که مشاً تشکیل این عوارض را می‌توان به تجزیه بقایای گیاهی مرتبط دانست (۱).

نتایج این پژوهش نشان داد که جهت‌های شیب متفاوت اثرات متفاوتی بر ویژگی‌های خاک دارند. خاک‌های موجود در شیب جنوبی، خاک‌های با تحول کمتر (انتی سول) و خاک‌های تشکیل یافته در شیب شمالی، خاک‌های با تکامل بیشتر (الفی سول) بودند. در شیب شمالی به واسطه نگه داشت بیشتر آب در خاک نسبت به شیب جنوبی و همچنین میانگین کمتر دمای خاک در شیب شمالی نسبت به شیب جنوبی سبب افزایش ضخامت و عمق خاک شده است. تنوع و فراوانی جانداران خاک (از جمله انواع باکتری‌ها، قارچ‌ها، کرم‌های خاکی، انواع حشرات و بندهایان) در شیب شمالی نیز سبب هوادیدگی بیشتر سنگ بستر، و در نتیجه افزایش مقدار رس‌ها و افزایش ظرفیت تبادل کاتیونی شده که نهایتاً سبب تکامل بیشتر خاک در شیب شمالی نسبت به شیب جنوبی شده است.

در افق‌های سطحی بقایای بافت‌های گیاهی از جمله ریشه به صورت نامنظم در داخل حفره‌ها و متن خاک در هر دو جهت شیب مشاهده شدند که نشان‌دهنده تجمع مواد آلی و کم بودن سرعت تجزیه آن‌ها به خصوص در شیب شمالی است. بازترین عوارض میکرومورفولوژی که در اکثر افق‌های سطحی شیب شمالی مشاهده شد، بقایای ریشه همراه با فضولات داخل آن‌ها بود که نشان از فعالیت بیولوژی قوی‌تر در شیب شمالی در مقایسه با شیب جنوبی بود. از عوارض میکرومورفولوژیکی مهمی که در شیب شمالی دیده می‌شود، تجمع رس درون حفرات است. اکثر افق‌های زیر سطحی شیب شمالی اغلب خاکرخها آثاری از تجمع رس به صورت پوشته‌های رسی در اطراف حفرات واگ دارند و یا به صورت پرشدگی درون حفرات کانال با ضخامت قابل توجه و آثار نوری مشخص، دیده می‌شود که تمام پوشته‌های رسی و پرشدگی درون حفرات کانال به رنگ قرمز زرد با خطوط خاموشی قوی و پیوسته و به حالت ریز لایه و مرز واضح با متن خاک هستند، که همگی نشان دهنده آبشویی و مهاجرت رس به صورت مواد معلق در آب است و تأیید می‌کند که این رس‌ها ایلوویال هستند (۳۱). در افق‌های زیر سطحی خاکرخها در شیب شمالی قطعات پوشش رسی، معادل پایپیول بروئر (۶) مشاهده شدند، که از دیدگاه بروئر گلابیول‌هایی از رس‌های معدنی به صورت غالب با فابریک ممتد و یا فابریک ورقه‌ای هستند، که دارای مرز خارجی واضح و به طور معمول بیشتر آن‌ها دوکی با ابعاد مساوی و برخی اوقات گرد می‌باشند (۶). پایپیول‌ها را گالهای رسی می‌نامند که بخش‌های پهن، تا حدودی گرد و بدون زاویه می‌باشند و در طبقه بندی مینرالوژی گلابیول‌ها از نوع آرجیلیکی می‌باشند (۲۴). علت تشکیل این عوارض را می‌توان به فعالیت بیولوژیکی موجود در خاک و یا فشار ناشی از ریشه گیاهان دانست (۲۴). ندول‌های اکسید آهن و منگنز به مقدار فراوان در هر دو نوع پوشش گیاهی مشاهده شد. اگر ندول توسط اکسید آهن غالب باشد، آنها کرومای بالاتر (بیشتر به رنگ متمالی به قرمز، متمالی به زرد یا متمایل به قهوه‌ای) از محیط اطراف داشته و اگر هم اکسیدهای منگنز غالب باشند، با ولیو و کرومای پایین‌تر (به رنگ تیره تر یا سیاه) مشاهده می‌شوند (۲۸). به نظر می‌رسد اکثر ندول‌های مشاهده شده شامل هر دو نوع اکسید آهن و منگنز بود.

دلیل تشکیل بی‌فابریک گرانواستریتید که در افق‌های تحتانی برخی از خاکرخهای شیب شمالی مشاهده شد این است که در افق A

منابع

- 1- Bardy M., and Fritsch E. 2008. Micromorphology and spectroscopic characteristics of organic matter in waterlogged podzols of the upper Amazon basin. *Geoderma*, 145:222-230.
- 2- Begum F., Bajracharya R., Sharma S., and Sitaula B.K. 2010. Influence of slope aspect on soil physico-chemical

- and biological properties in the mid hills of central Nepal. International Journal of Sustainable Development & World Ecology, 17(5): 438 - 443
- 3- Birkeland P.W. 1999. Soils and Geomorphology. 3rd ed. Oxford University Press, New York.
 - 4- Blake G.R., and Hartge K.H. 1986. Bulk density, In: A. Klute (ed.), Methods of Soil Analysis, 2nd ed. Part 1- Physical and mineralogical methods, Agronomy Monograph. ASA and SSSA, Madison, WI. 9:363-375.
 - 5- Bremner J.M. 1996. Nitrogen-total. In: Methods of soil analysis, Part 3- chemical methods. Agronomy Monograph. (Eds. Sparks DL), ASA and SSSA, Madison, WI. 9:1085-1121.
 - 6- Brewer R., and Sleeman J.R. 1964. Glaebules: their definition, classification and interpretation. European Journal of Soil Science, 15: 66-78.
 - 7- Broxton P.D., Troch P.A., and Lyon S.W. 2009. On the role of aspect to quantify water transit times in small mountainous catchments. Water Resources Research, 45: W08427, doi:10.1029/2008WR007438.
 - 8- Bullock P., Fedoroff N., Jongerius A., Stoops G., and Tursina T. 1986. Handbook for Soil Thin Section Description, Waine Research Publishers, Wolverhampton. p.182.
 - 9- Casanova M., Messing I., and Joel A. 2000. Influence of aspect and slope gradient on hydraulic conductivity measured by tension infiltrometer. Hydrological Processes, 14(1):155–164.
 - 10- Castorena C., and Sanchez P. 2007. Clay coating formation in tepetates from Texcoco, Mexico. Catena, 71:411-424.
 - 11- Chen Z.S., Hsieh C.F., Jiang F.Y., Hsieh T.H., and Sun I.F. 1997. Relationship of soil properties to topography and vegetation in a subtropical rain forest in southern Taiwan, Plant Ecology. 132:229–241.
 - 12- Darvish zadeh. A. 1992. Iran geology. Amir Kabir publication, Tehran.(in Persian)
 - 13- Davidson A.D. 2002. Impact of fauna on an upland grassland soil as determined by micromorphological analysis. Geoderma, 20:133-143.
 - 14- Fisher R.F., and Binkley D. 2000. Ecology and management of forest soils. 3rd ed. John Wiley & Sons. New York. p.489.
 - 15- Gee G.W. 2002. Particle-size analysis. In: Dane, J. H. and Topp, G.C. (Eds.), Methods of soil analysis, Part 4- Physical methods. Monograph. ASA and SSSA, Madison, WI. 9:255-293.
 - 16- Geroy I.J., Gribb M.M., Marshall H.P., Chandler D.G., Benner S.G., and Mc Namara J.P. 2011. Aspect influences on soil water retention and storage. Hydrology journal. Process, 25: 3836-3842.
 - 17- Griffiths R.P., Madrich M., and Swanson A. 2009. The effects of topography on forest soil characteristics in the Oregon Cascade Mountains (USA): Implications for the effects of climate change on soil properties. Forest and Ecology Management, 257:1-7.
 - 18- Habibi Bibalani G., and majnonian B. 2005. Increased Stability of Landslide prone Slopes from Iron-wood Trees (*Parrotia persica*). Environmental Sciences, 8:21-28. (in Persian)
 - 19- Hagen-Thorn A., Callesen I., Armolaitis K., and Nihlgard B. 2004. The impact of six European tree species on the chemistry of mineral topsoil in forest plantation on former agricultural land. Forest and Ecology Management. 195:373-384.
 - 20- Khormali F., and Shamsi S. 2009. Micromorphology and quality attributes of the loess derived soils affected by land use change: a case study in Ghapan watershed, northern Iran. Journal of Mountain Science. 6:197–204.
 - 21- Khumalo G., Holechek J., Thomas M., and Molinar F. 2008. Soil depth and climatic effects on desert vegetation dynamics. Rangeland Ecology and Management, 61:269–274.
 - 22- Kirschbaum M.U.F. 1995. The temperature dependence of soil organic matter decomposition, and the effect of global warming on soil organic storage. Soil Biol. Biochem, 27: 753–760.
 - 23- Klemmedson J.O., and Wienhold B.J. 1992. Aspect and species influences on nitrogen and phosphorus in Arizona chaparral soil-plantsystem. Arid Soil Research and Rehabilitation, 6:105–116.
 - 24- Kooistria M.J., and Pulleman M.M. 2010. Features related to faunal activity. In: Interpretation of micromorphological features of soils and regoliths. Stoops, G. Marcelino V. Mees F. (Eds.). Elsevier's Science and Technology. Oxford, UK.p.109-127.
 - 25- Kramer S., and Green D.M. 2000. Acid and alkaline phosphatase dynamics and their relationship to soil microclimate in a semiarid woodland, Soil Biol. Biochem. 32:179–188.
 - 26- Kuo S. 1996. Phosphorus. In: Methods of soil analysis, Part 3- chemical methods. Agronomy Monograph. (Ed. DL Sparks), ASA and SSSA, Madison, WI, 9:869-920.
 - 27- Kutiel P., and Lavee H. 1999. Effect of slope aspect on soil and vegetation properties along aridity transect. Israel Journal of Plant Sciences, 47:169–178.
 - 28- Lindbo D.L., Stolt M.H., and Vepraskas M.J. 2010. Redoximorphic Features. In: Interpretation of micromorphological features of soils and regoliths. Stoops G. Marcelino V. and Mees F. (Eds.). Elsevier's Science and Technology, Oxford, UK. P.129-147.
 - 29- Marcella I. 2007. Neighbor leaf-cutting ants and mound-building termites: comparative nest micromorphology. Geoderma. 141:224-234.

- 30- McKenzie N.J., and Ryan P.J. 1999. Spatial prediction of soil properties using environmental correlation. *Geoderma*, 89:67–94.
- 31- Miura K., Araki Sh., and Kyuma K. 1988. Genesis of soils derived from various type of parent rock in southwestern Japan. I. Morphological and general characteristics. *Soil Science Plant Nutriet*, 34:1-16.
- 32- Murphy C.P. 1986. Thin Section Preparation of Soils and Sediments. A&B Academic Publ. Berkhamsted. p.149.
- 33- Nelson D.W., and Sommers L.E. 1996. Total carbon, organic carbon, and organic matter. In: Sparks, D. L., (Eds.), Methods of soil analysis, Part 3- chemical methods. Agronomy Monograph. ASA and SSSA, Madison, WI. 9:961-1010.
- 34- Olivero A.M., and Hix D.M. 1998. Influence of slope aspect and stand age on ground flora of southeastern Ohio forest ecosystems. *Plant Ecology*, 139:177–187.
- 35- Parsakho A., and Jalilvand H. 2009. Effects of iron wood (*Parrotia persica* C.A. Meyer) leaf litter on forest soil nutrients content. *American-Eurasian J. Agric. and Environ. Sci*, 5:244-249.
- 36- Roohi moghaddam A., Hosaeni S., Ebrahimi M., Rahmani A., Tabari koochak A., and Saraee M. 2006. The effect of mixing rates on qualitative and quantitative characteristics of oak – zelkova plantation. *Pajouhesh & Sazandegi*, 77:155-168. (in Persian)
- 37- Sabeti H. 2008. Forests, trees and shrubs of Iran. Yazd university publication. (in Persian)
- 38- Sauer D., Schellmann G., and Stahr K. 2007. A soil chronosequence in the semi-arid environment of Patagonia (Argentina). *Catena*, 71:382–393.
- 39- Schoeneberger P.J., Wysocki D.A., Benham E.C. Field book for describing and sampling soils. Natural Resources Conservation Service, National Soil Survey Center, Lincoln, NE.
- 40- Smith TJ. 2010. Using soil moisture trends across topographic gradients to examine controls on semi-arid ecosystem dynamics. M.Sc. Thesis Boise State University. 193 pp.
- 41- Soil Survey Staff. 2010. Keys to Soil Taxonomy. 11nd ed. United States Department of Agriculture, Natural Resources Conservation Service.
- 42- Stoops G. 2003. Guidelines for analysis and description of soil and regolith thin sections. Soil Science Society of America, Inc. Madison, Wisconsin, USA. p.184.
- 43- Stotzky G. Soil as an environment for microbial life. 1997. In: J.D.Van Elsas J.T. Trevors .M.H. Wellington (Eds.), Modern Soil Microbiology, Marcel Dekker, New York. p. 1–20.
- 44- Sumner M.E., and Miller W.P. 1996. Cations exchange capacity and Exchange Coefficients. In: Sparks, D.L. (Eds.), Methods of soil analysis, Part 3- chemical methods. Agronomy Monograph. ASA and SSSA, Madison, WI. 9:1201-1230.
- 45- Tatsuhara S., and Kurashige H. 2001. Estimating foliage biomass in a natural deciduous broad-leaved forest area in a mountainous district. *Forest Ecol. Manage*. 152:141–148.
- 46- Tesfa TK., and Tarboton DG. Chandler DG. and Mc Namara JP. 2009. Modeling soil depth from topographic and land cover attributes. *Water Resources Research* 45: W10438, DOI: 10.1029/2008WR007474.
- 47- Thomas G.W. 1996. Soil pH and soil acidity. In: Methods of soil analysis, Part 3- chemical methods. Agronomy Monograph. (Ed. DL Sparks), ASA and SSSA, Madison, WI. 9:475-490.
- 48- Tsui C.C., Chen Z.S., and Hsieh C.F. Relationships between soil properties and slope position in a lowland rain forest of southern Taiwan. 2004. *Geoderma*, 123:131–142.
- 49- Yimer F., Sting L., and Adelkadir A. Soil property variations in relation to topographic aspect and vegetation community in the south-eastern highlands of Ethiopia. 2006. *For. Ecol. Manage*, 232:90–99.
- 50- Zhang C., Sha X.A., Guobin B., Liu. C., and Changsheng Z. D. 2012. Effects of Slope Aspect on Soil Chemical and Microbial Properties during Natural Recovery on Abandoned Cropland in the Loess Plateau, China. *Advanced Materials Research*, 360:2422-2429.



Influence of Different Slope Aspects on Some Soil Properties and Forest Soils Evolution (Case Study: Rostam Abad Region, Guilan Province)

M. Zarinibahador¹ - K. Nabiollahi² -M. Norouzi³

Received: 16-01-2014

Accepted: 05-04-2015

Introduction: Spatial variation of soil properties is significantly influenced by numerous environmental factors such as landscape features, including position, topography, slope gradient and aspect, parent material, climate and vegetation. Soil properties vary spatially in south- and north-facing hill slopes. This factor (different slope aspects) can affect the distribution of soil organic matter, the presence or absence of a layer, pH, nutrient levels, soil mineralogical and micromorphological properties. Topographic factors such as the orientation of the hill slope and the steepness of the slope affect microclimate, vegetation establishment, water movement and erosion. Aspect and slope control the movement of water and materials in a hill slope and contribute to differences in soil properties. Temperature, precipitation and climate vary with elevation and influence pedogenic processes. Accelerated rates of weathering and soil development were found to occur in soils on south-facing slopes. Slopes with a south aspect are dominated by stone and bare soil patches, while slopes with a north aspect are dominated by biotic components. Northern slopes have higher productivity and species diversity compared to Southern slopes. Slope aspect has a significant effect on the composition, species richness, structure and density of plant communities, differed significantly between North- and South- facing slopes.

Materials and Methods: In the present study, the effects of two slope aspects on some soil properties and soil evolution was investigated in Northern Rostam Abad region in the Guilan Province. Five profiles in Southern hill slope(South-facing hill slopes) and five profiles in Northern hill slopes(North-facing hill slopes) with 40% slope and same parent material (basaltic andesite) and same plant cover were dug. The elevation of two slope aspects was 240 meters from the sea level. Average annual temperatures and precipitation are 16 degrees centigrade and 1359 mm, respectively. Thus, the soil moisture and temperature regimes are udic and thermic, respectively. The physical and chemical analysis were carried out on soil samples including particle size distribution, bulk density, pH, organic carbon, total nitrogen, available phosphorus and cation exchange capacity. This study was done in a completely randomized design several observational with five replications. The total of 34 soil samples were collected in the two slope aspect of the profile and all samples were tested and statistical analyzed. For the micromorphological study, thin sections were prepared from undisturbed samples. The samples were impregnated with polyester resin and later sectioned. The thin sections were prepared and analyzed in petrographic microscope equipped with polarized light.

Results and Discussion: The results of multivariable analysis of variance (MANOVA) and Hotteling's T2 showed that there is significant different in soil properties between two hill slopes($p \leq 0.01$). Also, the results of t-test showed the values of pH, content of sand, sand to clay ratio and available phosphorous significantly was higher in Southern hill slope in comparison with Northern hill slope($p \leq 0.01$). Whereas, clay content and cation exchange capacity significantly were higher in Northern hill slope in comparison with Southern hill slope($p \leq 0.05$). Also observed micromorphological studies showed biological activity was stronger in Northern hill slope in comparison with Southern hill slope. Properties observed in thin sections of Northern slope aspect include fungal hyphae, spherical and ellipsoid excretion of microorganisms in root residual (related to oribatid mites) which indicated stronger biology in Northern slope aspect soils as compare to Southern slope aspect soils. Also, more accumulates* of clay inside voids, nodules, fragmented of coating of well-oriented, micro laminated, reddish-brown clay, chamber voids in Northern slope soils toward Southern slope soils were observed. B-fabric observed in Northern hill slope soils is stipple speckled in surface horizons and in subsurface horizons is grano-striated and stipple speckled and b-fabric observed in Southern hill slopes soils in surface horizons and subsurface horizons is stipple speckled.

Conclusion: Higher content of clay, Cation exchange capacity, Accumulation of clay in pores, Fragments of

1 - PhD Student, Department of Soil Science, College of Agriculture, Shahrekord University

(*-Corresponding Author Email: moslem.zarini@ymail.com)

2- Assistant Professor, Department of Soil Science, College of Agriculture, Kordestan University

3- PhD Student, Department of Soil Science, College of Agriculture, Tabriz University

clay coating (papule), chamber pores, Fe/Mn oxide nodule and micro-laminations in Northern hill slope and higher values of pH, higher content of sand, sand to clay ratio and available phosphorous, lithorelict in Southern hill slope showed that weathering was higher in Northern hill slope in comparison with Southern hill slope. Generally, Southern hill slope had less developed soils (Entisols and Udorthents great group) and Northern hill slope had high developed soils (Alfisols and Hapludalfs great group.).

Keywords: Slope aspect, Soil evolution, Soil micromorphology, Fe/Mn oxide nodules